

高压物理学报

自由边界影响下定向断裂爆破裂纹尖端应力分布与扩展机理

邱鹏 岳中文

Stress Distribution and Propagation Mechanism of Crack Tip in Directional Fracturing Blasting under the Influence of Free Boundary

QIU Peng, YUE Zhongwen

引用本文:

邱鹏, 岳中文. 自由边界影响下定向断裂爆破裂纹尖端应力分布与扩展机理[J]. 高压物理学报, 2024, 38(5):054104. DOI: 10.11858/gwlb.20240799

QIU Peng, YUE Zhongwen. Stress Distribution and Propagation Mechanism of Crack Tip in Directional Fracturing Blasting under the Influence of Free Boundary[J]. Chinese Journal of High Pressure Physics, 2024, 38(5):054104. DOI: 10.11858/gwlb.20240799

在线阅读 View online: <https://doi.org/10.11858/gwlb.20240799>

您可能感兴趣的其他文章

Articles you may be interested in

[单向围压下切槽爆破裂纹扩展规律研究](#)

Crack Propagation Law of Notch Blasting under Unidirectional Confining Pressure

高压物理学报. 2023, 37(6): 064102 <https://doi.org/10.11858/gwlb.20230716>

[深部岩石爆破裂纹扩展与不耦合装药系数的关系](#)

Relation between Crack Propagation and Decoupling Charging Coefficient in Deep Rock Blasting

高压物理学报. 2023, 37(5): 054203 <https://doi.org/10.11858/gwlb.20230649>

[深部煤层水压爆破裂纹扩展规律](#)

Crack Propagation Regularity of Hydraulic Blasting in Deep Coal Seam

高压物理学报. 2022, 36(3): 035301 <https://doi.org/10.11858/gwlb.20210912>

[混凝土界面过渡区对裂纹扩展过程的影响](#)

Influence of Interfacial Transition Zone on Crack Propagation Process in Concrete

高压物理学报. 2023, 37(4): 044207 <https://doi.org/10.11858/gwlb.20230606>

[不同炮孔间距对岩石爆炸裂纹扩展影响的数值分析](#)

Numerical Analysis of Impact of Shot Hole Spacing on Crack Growth in Rock

高压物理学报. 2019, 33(4): 044103 <https://doi.org/10.11858/gwlb.20180683>

[花岗岩板双基火药切槽爆破破坏过程研究](#)

Damage Process of Double Base Propellant Grooved Blasting on Granite Slab

高压物理学报. 2024, 38(4): 045302 <https://doi.org/10.11858/gwlb.20240711>

自由边界影响下定向断裂爆破裂纹 尖端应力分布与扩展机理

邱 鹏¹, 岳中文²

(1. 太原理工大学原位改性采矿教育部重点实验室, 山西 太原 030024;
2. 中国矿业大学(北京)力学与土木工程学院, 北京 100083)

摘要:天然岩体常含自由边界, 对定向断裂爆破产生干扰。为探究自由边界对定向断裂爆破的影响, 采用爆炸焦散线方法和高速摄影技术, 研究了含自由边界时定向爆炸裂纹尖端的应力分布和扩展机理。自由边界的反射 P/S 波作用于定向爆炸裂纹, 改变了裂尖应力分布, 产生了“弧线形”裂纹扩展路径。定向爆炸裂纹扩展可分为 3 个阶段。(1) 反射波作用前: 裂尖受爆生气体“气楔”作用, 产生 I 型断裂, 并沿直线扩展。(2) 反射波作用时: 反射 P/S 波均使裂尖受张拉-剪切作用, 产生 I-II 复合型断裂, 裂纹偏转趋向自由边界; 在反射 P 波的作用下裂尖产生畸变焦散斑, 裂尖应力由 K 场主导变为非 K 场主导, 而在反射 S 波的作用下裂尖应力恢复为 K 场主导。(3) 反射波作用后: 裂尖在惯性作用下恢复为 I 型断裂, 沿直线扩展。在明确反射 P/S 波对定向爆炸裂纹作用的基础上, 推导了自由边界影响下定向断裂爆破炮孔间距的计算公式, 可为精细化定向断裂爆破提供理论参考。

关键词:自由边界; 定向断裂爆破; 反射 P/S 波; 裂尖应力分布; 裂纹扩展

中图分类号: O389; O521.9

文献标志码: A

定向断裂爆破是在特定方向上产生裂纹, 满足特定的工程需求, 对隧洞光面爆破^[1]、岩巷光面爆破^[2]、煤矿切顶卸压^[3]、坚硬顶板强制放顶^[4]、页岩气储层改造^[5]等具有重要的现实意义。然而, 天然岩体含节理、缺陷、断层等自由边界, 从而对定向爆炸裂纹尖端应力分布和裂纹扩展产生干扰。爆炸应力波在自由边界处会产生反射 P/S 波, 反射波作用于定向爆炸裂纹, 改变裂尖应力分布, 导致裂纹扩展方向发生偏转, 不利于定向断裂爆破实施。鉴于天然岩体的不透明性、爆炸的瞬态性、现场测试手段的局限性, 定向断裂爆破设计常依赖于经验, 自由边界对定向断裂爆破干扰的力学机理仍不清楚。

关于定向断裂爆破, 诸多学者针对节理、缺陷、断层等自由边界对定向爆炸裂纹扩展的影响进行了研究。杨仁树等^[6]开展了含缺陷有机玻璃的定向断裂爆破实验研究, 对比了裂纹缺陷、孔缺陷对定向爆炸裂纹扩展的影响。岳中文等^[7-8]分析了定向爆炸裂纹与斜节理、孔缺陷等自由边界的相互作用, 发现节理使定向爆炸裂纹扩展方向发生偏转。王雁冰等^[9]对比了水平和竖直裂隙对定向爆炸裂纹扩展的影响规律。许鹏等^[10]研究了竖直层理产生的反射波对定向爆炸裂纹的抑制作用。费鸿禄等^[11]通过 LS-DYNA 数值模拟, 分析了不同节理特征对爆炸裂纹扩展的影响。郭德勇等^[12]分析了断层对聚能爆破裂隙扩展和应力波传播的影响, 发现断层产生的反射应力波叠加使煤体裂隙尖端产生应力集中。

* 收稿日期: 2024-04-22; 修回日期: 2024-05-15

基金项目: 国家自然科学基金(52204106, 52174094); 国家重点研发计划(2021YFC2902103); 山西省基础研究面上项目(202203021211133)

作者简介: 邱 鹏(1991—), 男, 博士, 助理研究员, 主要从事煤岩爆破断裂研究.

E-mail: qipeng@tyut.edu.cn

通信作者: 岳中文(1975—), 男, 博士, 教授, 主要从事岩土工程、爆破工程、采矿工程研究.

E-mail: zwyue75@163.com

Qiu 等^[13-14]等采用爆炸焦散线方法,分析了水平和竖向反射应力波对定向爆炸裂纹尖端应力的影响,建立了I型畸变焦散斑对应的应力强度因子测量准则,并拓展至I-II复合型应力强度因子测量^[15]。

以往学者重点关注了节理、缺陷、断层等自由边界对定向爆炸裂纹扩展的影响,较少涉及自由边界反射P/S波对裂纹的作用机理。反射P/S波改变了裂尖应力分布,进而影响裂纹扩展方向,是自由边界干扰定向断裂爆破的根本原因。

为此,本研究采用爆炸焦散线方法和高速摄影技术,将自由边界的反射P/S波、定向爆炸裂纹尖端应力可视化,从裂尖应力和裂纹扩展两方面分析自由边界对定向爆炸裂纹的影响。按反射波作用时序,将定向爆炸裂纹扩展分为3个阶段,即反射波作用前、作用时、作用后,重点分析反射P/S波对爆炸裂纹尖端应力分布和裂纹扩展路径的影响,最后推导自由边界影响下定向断裂爆破炮孔间距的计算公式,以期为精细化定向断裂爆破提供理论依据。

1 爆炸焦散线实验

1.1 爆炸试件

采用透明的有机玻璃材料,开展爆炸焦散线实验。该材料透明且易于加工,常用于爆炸实验^[16]。采用激光切割试件,获得光滑平整的自由边界,试件尺寸为360 mm×200 mm×5 mm,如图1(a)所示。试件含有2个直径为10 mm的空孔,其中:A为炮孔,距上边界较近,本实验重点研究上边界产生的反射P/S波对定向爆炸裂纹尖端应力和裂纹扩展的影响;B为空孔,远离上边界,便于安装爆炸夹具。

采用切缝药包实现定向断裂爆破,如图1(b)所示。切缝药包由直径为10 mm的PVC管制作,壁厚1.0 mm,在其水平方向两侧切割出窄缝,缝宽0.5 mm。在两侧窄缝处将优先产生水平定向爆炸裂纹。切缝药包中采用单质猛炸药:叠氮化铅(PbN_6)110 mg,通过细铜丝连接高压起爆器,由细铜丝尖端产生的高压电弧火花引爆。

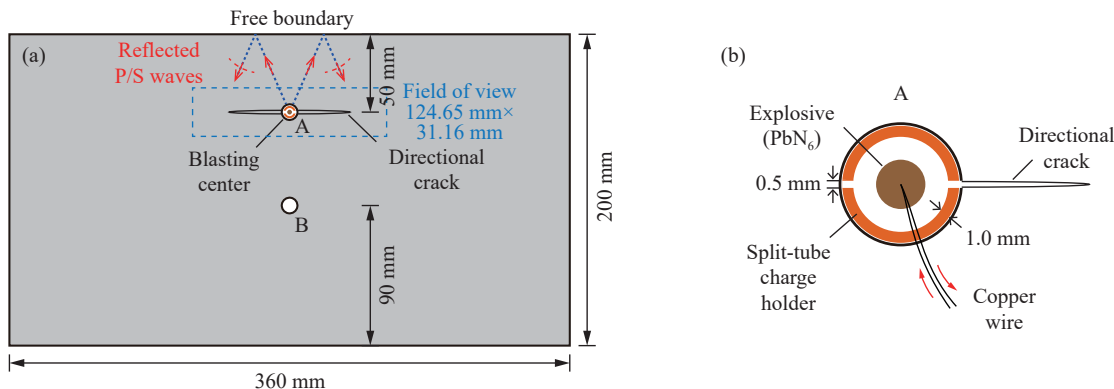


图1 试件的示意图:(a)试件尺寸,(b)切缝药包
Fig. 1 Schematic diagram of the specimen: (a) size of the specimen; (b) slotted cartridge

1.2 爆炸焦散线实验系统

采用爆炸焦散线实验系统,将自由边界的反射波和裂纹尖端的应力分布可视化,从而直观地研究两者的相互作用^[17],如图2所示。该系统由光学系统和起爆系统两部分组成。光学系统包括波长为532 nm的激光器、扩束镜、场镜1、试件平台、场镜2、Photron SA5高速相机。起爆系统包括高压起爆器、细铜丝、叠氮化铅。2个系统通过信号控制器实现同步。起爆器引爆叠氮化铅后,同时触发信号控制器,发出的控制信号触发高速相机,最后将高速相机记录的爆炸过程储存于计算机中。

由于Photron SA5高速相机的拍摄视场随拍摄速度的增加而减小,因此,为兼顾拍摄速度和视场,本实验的拍摄速度设置为10⁵帧/秒,像素视场为512×128,实际视场为124.65 mm×31.16 mm,单位像素代表的实际长度为243.46 μm。

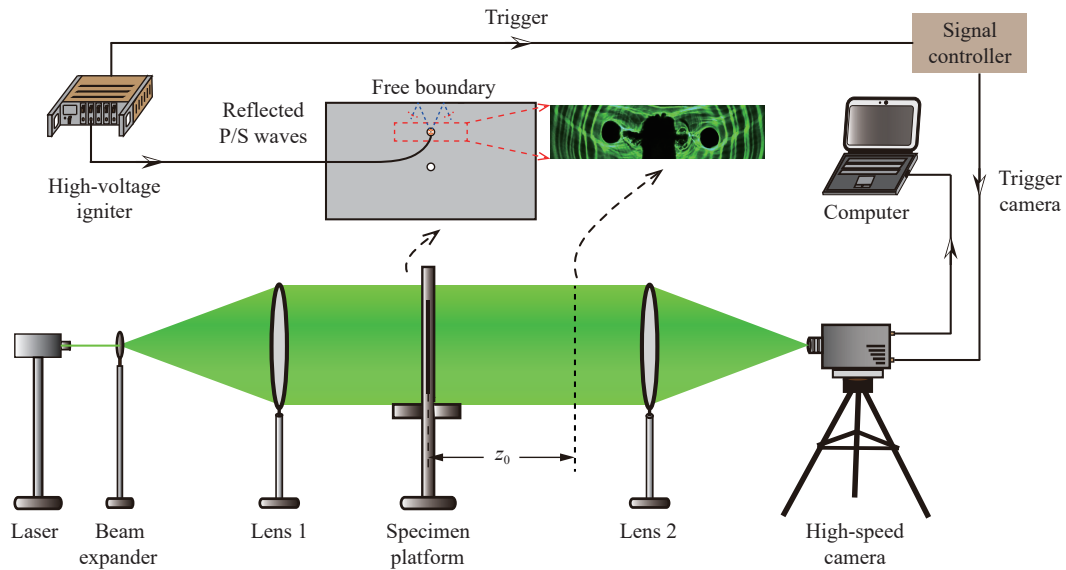
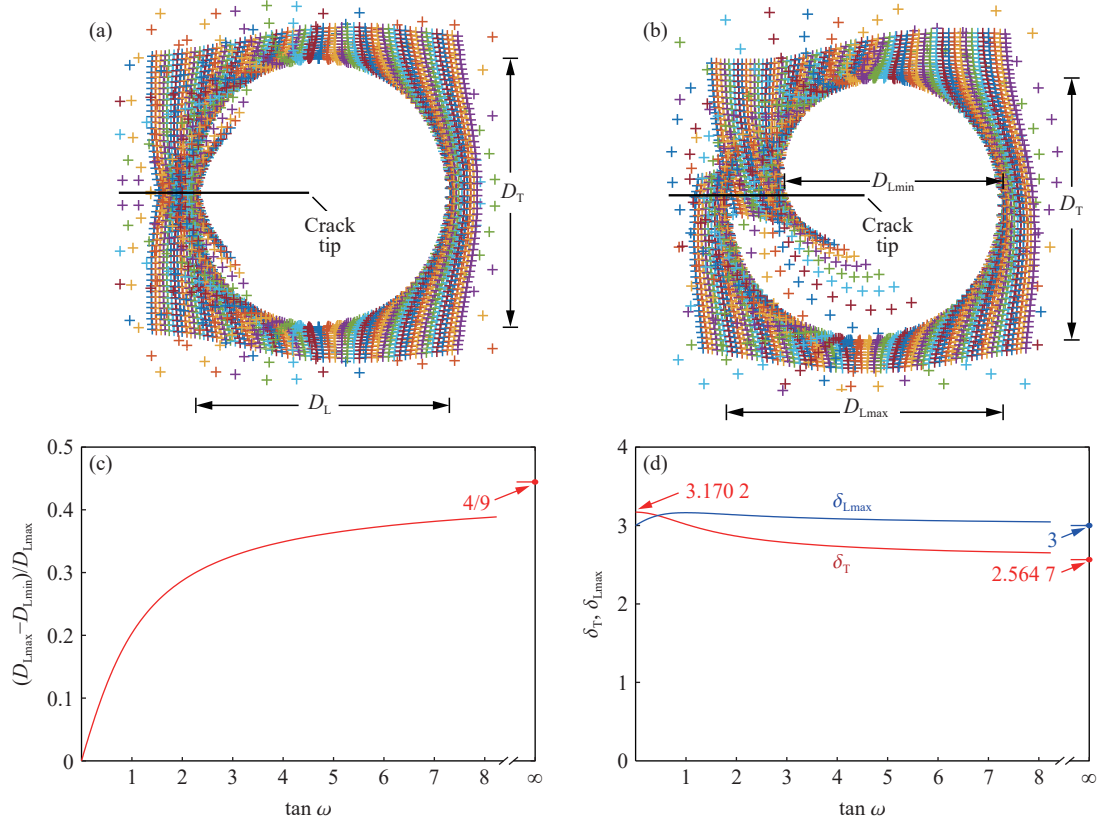


图2 爆炸焦散线实验系统

Fig. 2 Blasting caustics experimental setup

2 爆炸裂纹尖端应力强度因子和扩展速度测量

焦散线方法可用于测量裂纹尖端应力强度因子, 该方法的开创者 Theocaris^[18] 和 Papadopoulos^[19] 根据裂纹尖端焦散斑的尺寸和比例(图3), 其中 D_T 为垂直裂纹扩展方向的焦散斑直径, D_L 为 I 型焦散斑沿裂

图3 经典的焦散斑方法测量应力强度因子: (a) I型焦散斑, (b) I-II复合型焦散斑, (c) 焦散斑尺寸比例, (d) δ_T 和 δ_{Lmax} Fig. 3 Classical stress intensity factor measurement by caustics patterns: (a) mode I caustics pattern; (b) mixed I-II mode caustics pattern; (c) ratio of caustics pattern size; (d) δ_T and δ_{Lmax}

纹扩展方向的直径, $D_{L\max}$ 和 $D_{L\min}$ 分别为 I-II 复合型焦散斑沿裂纹扩展方向的最大和最小直径), 给出了 I 型和 II 型应力强度因子的计算公式

$$K_I = \frac{2\sqrt{2\pi}F(v)}{3m^{3/2}c_tdz_0} \left(\frac{D_T}{\delta_T} \right)^{5/2} \cos \omega \quad \text{or} \quad K_{II} = \frac{2\sqrt{2\pi}F(v)}{3m^{3/2}c_tdz_0} \left(\frac{D_{L\max}}{\delta_{L\max}} \right)^{5/2} \cos \omega \quad (1)$$

$$K_{II} = K_I \tan \omega \quad (2)$$

式中: K_I 和 K_{II} 分别为 I 型和 II 型应力强度因子; $F(v) \approx 1$, 为裂纹速度影响因子; m 为实验系统放大系数, 本实验为平行光场, 未放大, $m=1$; $c_t=0.85 \times 10^{-10}$ ^[17], 为有机玻璃应力光学常数; $d=5$ mm, 为试件厚度; $z_0=250$ cm, 为相机成像平面与试件的距离; ω 反映 I-II 复合型程度, 与焦散斑尺寸比例有关, 如图 3(c) 所示; δ_T 和 $\delta_{L\max}$ 分别为 D_T 和 $D_{L\max}$ 对应的数值因子, 如图 3(d) 所示。

根据图 3(a) 和图 3(b), 可获得每一时刻的裂尖位置, 经中点公式^[20], 可获得裂纹扩展速度

$$v = \frac{\sqrt{(x_{i+1}-x_i)^2 + (y_{i+1}-y_i)^2} + \sqrt{(x_i-x_{i-1})^2 + (y_i-y_{i-1})^2}}{2\Delta t} \quad (3)$$

式中: $\Delta t=10 \mu\text{s}$, 为高速相机拍摄相邻两张照片的间隔时间; (x_{i-1}, y_{i-1}) 、 (x_i, y_i) 、 (x_{i+1}, y_{i+1}) 分别代表 $i-1$ 、 i 、 $i+1$ 时刻的裂尖位置。值得注意的是, 因为高速相机每隔 $10 \mu\text{s}$ 拍摄一张照片, 裂纹扩展速度实为两时刻间的平均速度, 并非瞬时速度。

3 实验结果分析

3.1 实验重复性

在炮孔两侧均设计定向断裂, 验证同一爆炸过程中 2 条定向爆炸裂纹的重复性, 并与不同试件进行对比。对比发现, 4 条定向爆炸裂纹受自由边界影响, 均产生“弧线形”裂纹路径, 如图 4(a) 和图 4(b) 所示。为了进一步验证实验结果的可重复性, 根据高速相机拍摄的裂尖位置, 将 4 条定向爆炸裂纹扩展路径在同一坐标系中进行对比, 4 条裂纹基本重合, 如图 4(c) 所示。

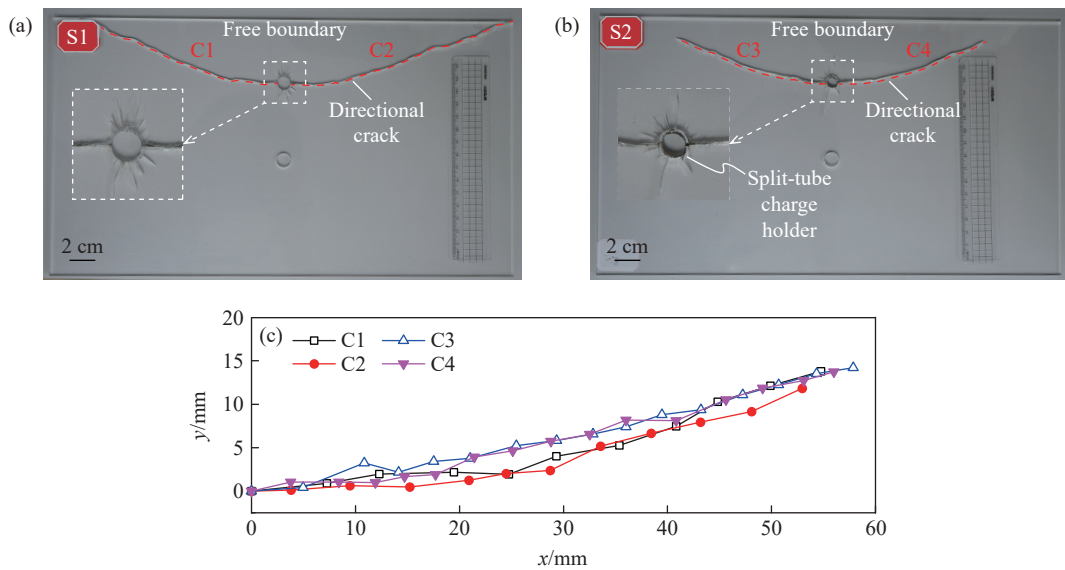


图 4 爆炸后裂纹路径: (a) 爆后试件 S1, (b) 爆后试件 S2, (c) 4 条定向爆炸裂纹路径

Fig. 4 Crack path after blasting: (a) specimen S1 after blasting; (a) specimen S2 after blasting; (c) paths of four directional blast-induced cracks

3.2 自由边界影响下定向爆炸裂纹尖端应力分布

爆炸应力波在自由边界产生反射 P/S 波, P/S 波作用于定向爆炸裂纹, 改变裂尖应力分布。以试

件S1的爆炸焦散斑图像为例,按时间顺序可分为3个阶段:(1)反射波作用前,(2)反射波作用时,(3)反射波作用后。

3.2.1 反射波作用前爆炸裂纹尖端应力分布

反射波作用前,炮孔两侧定向爆炸裂纹在爆炸应力波的作用下起裂,并在爆生气体“气楔”作用下扩展,如图5所示。当炮孔附近的爆炸应力波传播超过裂纹C1($t=30\mu s$),裂尖呈I型(张开)断裂,在光场中表现为“圆形”焦散斑,与经典焦散线理论曲线相吻合,如图5(b)所示。此时,裂尖应力为K场分布,即由应力强度因子主导。 $t=40\mu s$ 时,爆炸应力波超过裂纹C2,裂尖同样出现“圆形”焦散斑,裂尖应力为K场分布。

然而,当自由边界的反射P波返回临近爆炸裂纹C1时($t=40\mu s$),受应力叠加的影响,裂尖焦散斑发生畸变,表现为“椭圆形”焦散斑,如图5(c)所示,意味着裂尖应力由K场主导变为非K场主导。采用本课题组提出的畸变焦散斑理论^[13,17],绘制出“椭圆形”焦散斑,如图5(c)所示,与实验图像相吻合。因裂纹C2的扩展方向偏下, $t=40\mu s$ 时反射P波未对其裂尖焦散斑产生干扰。

为进一步确认反射P波,进行返回时间(波传播至边界并反射后返回到裂纹尖端的时间)计算。有机玻璃的P波波速为2.32 km/s^[17],预估反射P波返回时间为 $(50\text{ mm} \times 2 - 5\text{ mm}) / (2.32 \text{ km/s}) = 40.95\mu s$,与图5(a)中的拍摄结果相符。由于高速相机并非连续拍摄,因此,计算结果与拍摄结果存在一定的误差。

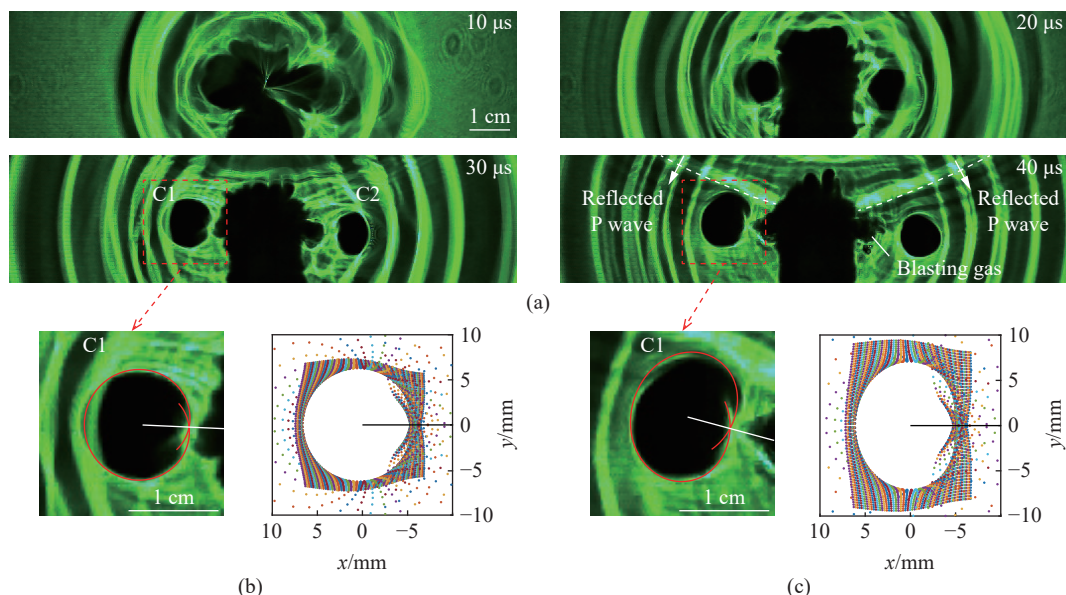


图5 反射波作用前:(a) 爆炸焦散斑图像,(b) $t=30\mu s$ 时C1裂纹尖端“圆形”焦散斑,(c) $t=40\mu s$ 时C1裂纹尖端“椭圆形”焦散斑

Fig. 5 Before action of reflected waves: (a) blast-induced caustics patterns; (b) circle caustics pattern at the tip of crack C1 at $30\mu s$; (c) ellipse caustics pattern at the tip of crack C1 at $40\mu s$

3.2.2 反射P波作用时爆炸裂纹尖端应力分布

爆炸应力波在试件上侧边界产生反射P波和反射S波,因波速差异,反射波对定向爆炸裂纹的作用可分为2个阶段:先反射P波作用,后反射S波作用。

反射P波最先返回作用于定向爆炸裂纹尖端($t=50\mu s$),裂纹C1、C2尖端均出现“椭圆形”焦散斑,如图6(a)所示。采用本课题组提出的畸变焦散斑理论^[13,17],绘制出“椭圆形”焦散斑,与实验图像相吻合,如图6(b)所示。“椭圆形”焦散斑产生的原因是:反射P波与裂尖应力相互叠加,使裂尖应力由原先的K场主导变为非K场主导,在光场中表现为焦散斑形状由“圆形”变为“椭圆形”。因此,从焦散斑形状可直观地辨别裂尖应力分布状态。

由于反射P波以倾斜角度作用于水平定向爆炸裂纹,因此,在裂尖产生非对称加载,导致裂尖产生

张拉-剪切作用,由Ⅰ型断裂变为Ⅰ-II复合型断裂,如图6(c)所示。张拉-剪切作用下,裂纹扩展将开始偏离水平方向,向上侧自由边界靠近。

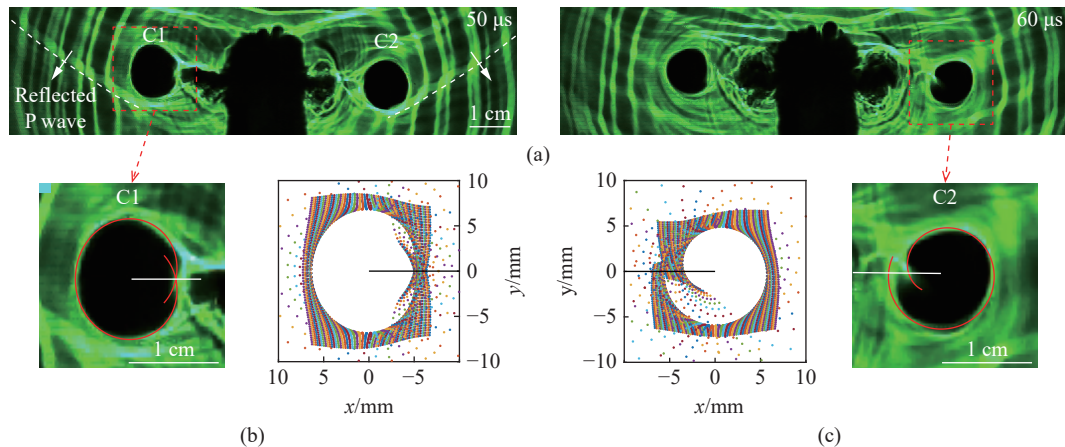


图6 反射P波作用时:(a)爆炸焦散斑图像,(b) $t=50\text{ }\mu\text{s}$ 时C1裂纹尖端的“椭圆形”焦散斑,(c) $t=60\text{ }\mu\text{s}$ 时C2裂纹尖端的Ⅰ-II复合型焦散斑

Fig. 6 Under action of reflected P wave: (a) blast-induced caustics patterns; (b) ellipse caustics pattern at the tip of crack C1 at $50\text{ }\mu\text{s}$; (c) mixed I-II mode caustics pattern at the tip of crack C2 at $60\text{ }\mu\text{s}$

3.2.3 反射S波作用时爆炸裂纹尖端应力分布

反射P波作用后,反射S波返回作用于定向爆炸裂纹尖端($t=70\text{ }\mu\text{s}$),如图7(a)所示。根据焦散斑图像中条纹密集度的差异以及波速差异,可直观分辨出反射S波。为进一步确认反射S波,计算返回时间。有机玻璃的S波波速为 1.26 km/s ^[17],预估反射S波返回时间为 $(50\text{ mm}\times 2\text{--}5\text{ mm})/(1.26\text{ km/s})=75.40\text{ }\mu\text{s}$,与图7(a)中拍摄结果相符。高速相机并非连续拍摄,因此,计算与实验结果存在一定误差。

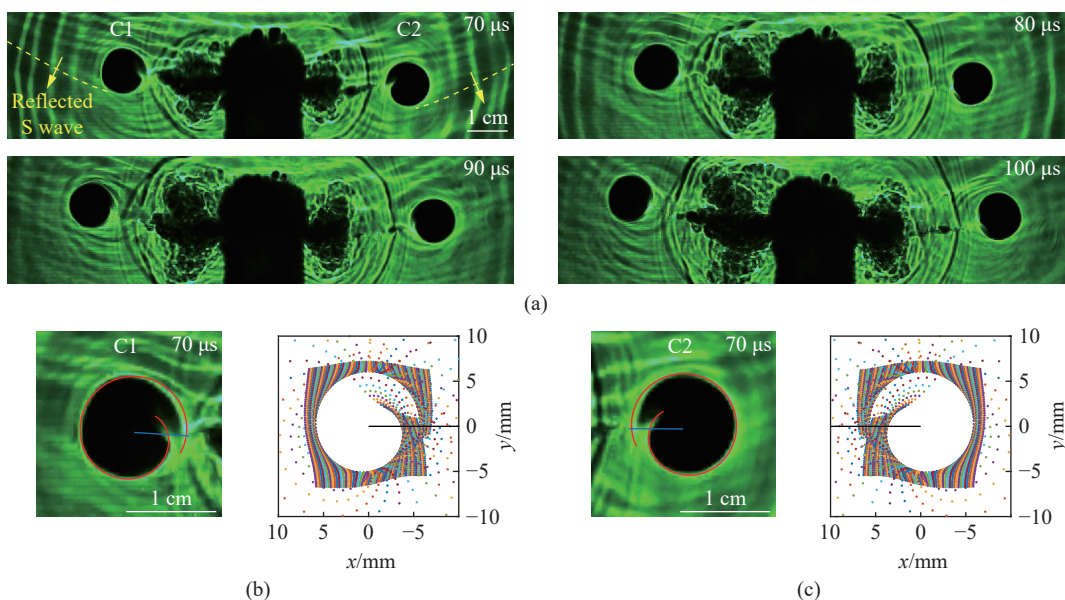


图7 反射S波作用时:(a)爆炸焦散斑图像,(b) $t=70\text{ }\mu\text{s}$ 时C1裂纹尖端的Ⅰ-II复合型焦散斑,(c) $t=70\text{ }\mu\text{s}$ 时C2裂纹尖端的Ⅰ-II复合型焦散斑

Fig. 7 Under action of reflected S wave: (a) blast-induced caustics patterns; (b) mixed I-II mode caustics pattern at the tip of crack C1 at $70\text{ }\mu\text{s}$; (c) mixed I-II mode caustics pattern at the tip of crack C2 at $70\text{ }\mu\text{s}$

反射S波作用下,由于S波自身的剪切作用,2条定向爆炸裂纹C1、C2尖端均产生张拉-剪切作用,由Ⅰ型断裂变为Ⅰ-II复合型断裂,形成复合型焦散斑($t=70\text{ }\mu\text{s}$)。该实验图像与经典的焦散线理论

曲线相吻合,未发生畸变,如图7(b)和图7(c)所示。由此可知,在反射S波的作用下,裂尖应力为K场分布,即裂尖应力由应力强度因子主导。

反射S波作用下,由于裂尖产生I-II复合型断裂,裂纹继续向上侧自由边界偏转。因此,“弧线形”裂纹路径是由反射P/S波共同作用产生的。两者作用的区别在于:反射P波是由于倾斜作用角度使裂尖产生I-II复合型断裂,而反射S波是由于自身的剪切作用使裂尖产生I-II复合型断裂。

3.2.4 反射波作用后爆炸裂纹尖端应力分布

反射P/S波作用后,爆炸裂纹尖端恢复为I型(张开)断裂,裂尖图像恢复为“圆形”焦散斑,如图8(a)所示。实验图像与经典的焦散线理论曲线相吻合,如图8(b)和图8(c)所示。由此可知,裂尖应力恢复为K场分布,由应力强度因子主导。尽管裂纹C1、C2的扩展方向不再偏转,但之前的反射P/S波作用已将其方向偏转为斜向上。在惯性作用下,裂纹C1、C2进一步靠近上侧自由边界。

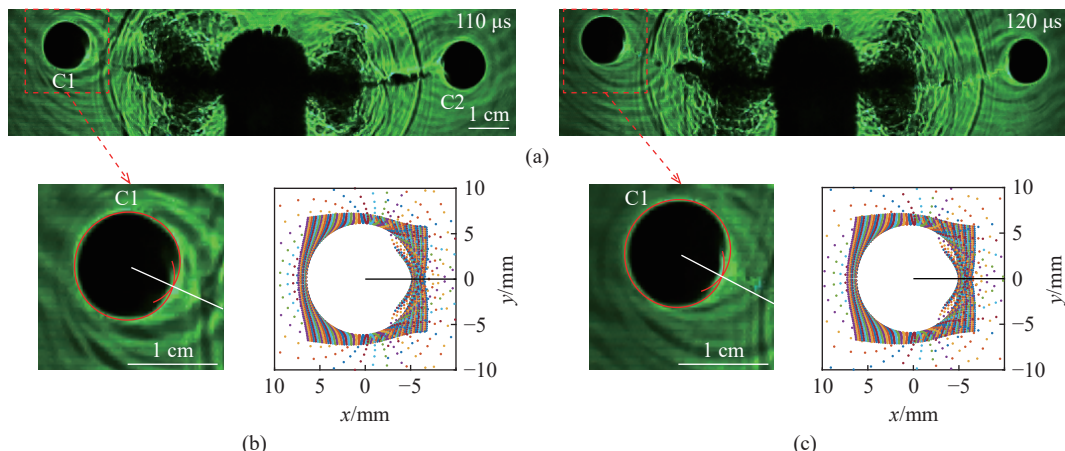


图8 反射波作用后:(a) 爆炸焦散斑图像,(b) $t=110\text{ }\mu\text{s}$ 时C1裂纹尖端I型焦散斑,(c) $t=120\text{ }\mu\text{s}$ 时C1裂纹尖端的I型焦散斑

Fig. 8 After action of reflected waves: (a) blast-induced caustics patterns; (b) mode I caustics pattern at the tip of crack C1 at 110 μ s; (c) mode I caustics pattern at the tip of crack C1 at 120 μ s

需要注意的是,反射P/S波作用后,裂尖出现了明显的应力波散射现象。该现象表明反射P/S波促进了裂纹扩展,使裂尖蓄积了更多的应变能,以应力波的形式向周围散射。

3.3 自由边界影响下定向爆炸裂纹尖端应力强度因子

通过测量焦散斑尺寸及其比例,由式(1)和式(2),可得定向爆炸裂纹尖端应力强度因子 K_I 和 K_{II} ,并与反射P/S波作用时间对应,如图9所示。4条定向爆炸裂纹尖端的 K_I 和 K_{II} 变化规律具有相似性:

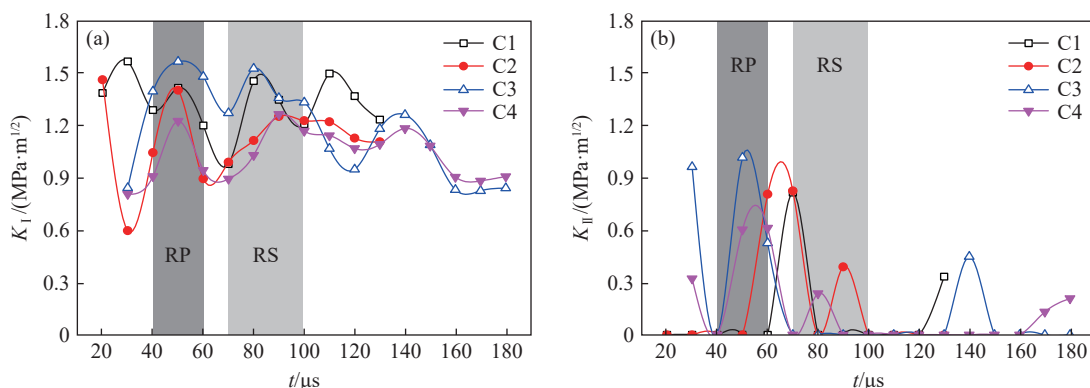


图9 定向爆炸裂纹尖端应力强度因子:(a) I型应力强度因子 K_I , (b) II型应力强度因子 K_{II}
(RP 和 RS 分别代表反射 P 波和反射 S 波)

Fig. 9 Stress intensity factors of directional blast-induced cracks: (a) mode I stress intensity factor K_I ; (b) mode II stress intensity factor K_{II} (RP and RS represent reflected P and S waves, respectively.)

在反射 P/S 波作用阶段, K_1 和 K_{II} 均增加, 且随着反射波的衰减而降低。

自由边界产生的反射 P/S 波均提高了定向爆炸裂纹尖端的 K_1 , 形成 2 处峰值, 如图 9(a) 所示。反射 P 波的波前为拉伸项, 在爆炸裂纹尖端产生拉应力叠加, 增加了裂尖应力集中程度。反射 S 波在爆炸裂纹尖端产生剪应力叠加, 同样增加了裂尖应力集中程度。随着反射波的衰减, K_1 逐渐降低, 但是由于裂纹 I 型扩展的惯性作用, 并未瞬间下降。自由边界产生的反射 P/S 波均提高了定向爆炸裂纹尖端的 K_{II} 。随着反射波衰减, K_{II} 趋于零, 与 K_1 的变化相异。其原因是在惯性作用下, 裂纹天然趋于 I 型(张开)扩展^[21-22]。

3.4 自由边界影响下定向爆炸裂纹扩展行为

3.4.1 反射波作用下定向爆炸裂纹扩展速度

通过焦散斑图像获得每一时刻的裂尖位置, 从而可求出裂纹扩展速度, 并与反射 P/S 波的作用时间对应, 如图 10(a) 所示。可见, 4 条定向爆炸裂纹扩展速度(v)的变化规律具有相似性: 反射 P/S 波作用阶段均增加, 之后, 随着反射波衰减而逐渐降低。反射 P/S 波提高了裂纹扩展速度, 与焦散斑图像中裂尖应力波散射现象相互印证。裂纹扩展速度与图 9(a) 中 K_1 的变化趋势一致, 符合经典断裂力学中两者的正相关性, 如图 10(b) 所示。反射 P 波的波前为拉伸项, 促进了爆炸裂纹扩展, 与常识相符。需要注意的是, 反射 S 波在爆炸裂纹尖端叠加剪应力, 增加了裂尖应力集中程度, 同样促进了裂纹扩展, 这一点在以往研究中常被忽视。因此, 在分析爆炸裂纹扩展行为时, 不仅要考虑 P 波的作用, 也要兼顾 S 波的作用。

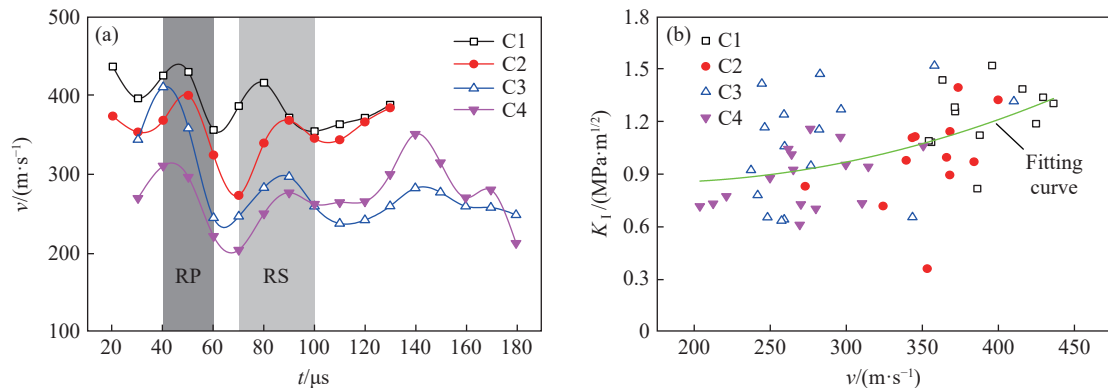


图 10 定向爆炸裂纹扩展结果: (a) 裂纹扩展速度, (b) 裂纹扩展速度与 K_1 的正相关性

Fig. 10 Results of directional blast-induced crack propagation : (a) crack propagation velocity;
(b) positive correlation between crack propagation velocity and K_1

3.4.2 自由边界影响下定向断裂爆破炮孔间距计算

由爆炸后试件图片和爆炸过程中的焦散斑图像可知, 定向爆炸裂纹在反射 P/S 波的作用下产生“弧线形”路径, 与定向断裂爆破预期效果不符。因此, 需要控制炮孔间距, 使定向爆炸裂纹在反射波返回前贯通, 减少自由边界反射波的不利影响。以下将以反射 P/S 波返回裂纹尖端的时间计算定向断裂爆破炮孔间距, 如图 11 所示。

根据图 11 所示的几何关系, 建立方程组

$$2vt_{P,S} = a \quad (4)$$

$$\frac{1}{2}C_{P,S}t_{P,S} \cos \theta = w \quad (5)$$

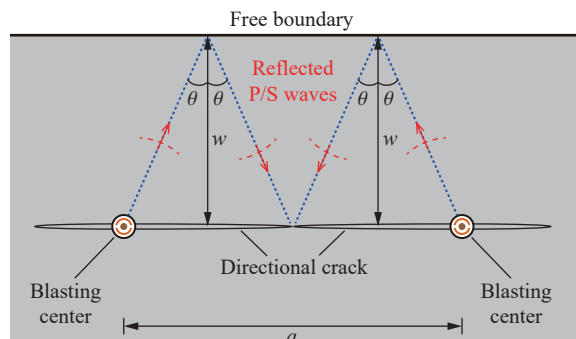


图 11 定向断裂爆破炮孔间距计算示意图

Fig. 11 Schematic diagram of borehole spacing calculation for directional fracturing blasting

$$\frac{v}{C_{P,S}} = \sin \theta \quad (6)$$

式中: a 为定向断裂爆破炮孔间距; $C_{P,S}$ 为反射 P/S 波波速; $t_{P,S}$ 为反射 P/S 波返回裂尖的时间; w 为爆破最小抵抗线, 即炮孔与自由面的最短距离; θ 为自由边界处反射 P/S 波对应的反射角度。

联立上述公式, 可得定向断裂爆破炮孔间距与裂纹速度、反射 P/S 波波速之间的关系

$$a = \frac{4}{\sqrt{(C_{P,S}/v)^2 - 1}} w \quad (7)$$

从上述公式推导结果发现, 定向断裂爆破炮孔间距为最小抵抗线乘以比例系数, 该比例系数为 P 波、S 波波速与裂纹速度之比的函数。本实验中, 有机玻璃中 P 波和 S 波的波速分别为 2.32 和 1.26 km/s^[17]; 由图 10(a) 可知, 爆炸裂纹速度在反射波作用前为 250~450 m/s, 可取 350 m/s。代入以上参数, 计算可得: 考虑反射 P 波作用时, 定向断裂爆破炮孔间距为 $0.61w$; 考虑反射 S 波作用时, 定向断裂爆破炮孔间距为 $1.16w$ 。为减少自由边界的反射 P/S 波对定向爆炸裂纹的干扰, 炮孔间距需小于 $0.61w \sim 1.16w$ 。本研究从反射 P/S 波作用的角度推导了炮孔间距的计算公式, 可为精细化定向断裂爆破提供理论参考。

需要注意的是, 此处计算仅考虑了自由边界反射 P/S 波的干扰作用, 在实际定向断裂爆破工程中, 还需考虑被爆介质的内部结构、装药参数等因素。

4 结 论

采用爆炸焦散线方法和高速摄影技术, 研究了自由边界影响下定向断裂爆破裂纹尖端应力分布和扩展机理。定向爆炸裂纹扩展可分为 3 个阶段, 即反射波作用前、作用时、作用后, 分析了反射 P/S 波对定向爆炸裂纹尖端的应力分布、断裂模式、裂纹偏转的影响, 推导了自由边界影响下定向断裂爆破炮孔间距的计算公式, 得到以下结论。

(1) 反射波作用前, 定向爆炸裂纹尖端受爆生气体“气楔”作用, 产生 I 型(张开)断裂, 裂尖应力为 K 场主导, 即由应力强度因子主导, 裂纹沿直线扩展。

(2) 反射 P/S 波作用时, 裂尖均受到张拉-剪切作用, 均产生 I-II 复合型断裂, 导致裂纹偏转形成“弧线形”路径; 两者的区别在于, 反射 P 波是由于倾斜作用使裂尖产生 I-II 复合型断裂, 而反射 S 波是由于自身的剪切作用使裂尖产生 I-II 复合型断裂。反射 P 波作用下, 裂尖产生畸变焦散斑, 裂尖应力由 K 场主导变为非 K 场主导, 而反射 S 波对裂尖应力的干扰较小, 裂尖应力恢复为 K 场主导。

(3) 反射波作用后, 定向爆炸裂纹尖端在惯性作用下恢复为 I 型(张开)断裂, 裂纹沿直线扩展, 进一步趋向自由边界。

(4) 为减少反射 P/S 波的干扰作用, 推导了定向断裂爆破炮孔间距的计算公式, 可为精细化定向断裂爆破提供理论参考。

参考文献:

- [1] 赵晓明, 杨玉民, 蒋楠, 等. 深埋引水隧洞光面爆破周边孔装药结构优化试验研究 [J]. *高压物理学报*, 2022, 36(4): 045301.
ZHAO X M, YANG Y M, JIANG N, et al. Optimization of charging structure of surrounding holes in smooth blasting of deep diversion tunnel [J]. *Chinese Journal of High Pressure Physics*, 2022, 36(4): 045301.
- [2] 杨仁树, 李成孝, 陈骏, 等. 我国煤矿岩巷爆破掘进发展历程与新技术研究进展 [J]. 煤炭科学技术, 2023, 51(1): 224–241.
YANG R S, LI C X, CHEN J, et al. Development history and new technology research progress of rock roadway blasting excavation in coal mines in China [J]. *Coal Science and Technology*, 2023, 51(1): 224–241.
- [3] 何满潮. 无煤柱自成巷开采理论与 110 工法 [J]. 采矿与安全工程学报, 2023, 40(5): 869–881.
HE M C. Theory and engineering practice for non-pillars mining with automagical entry formation and 110 mining method [J].

- Journal of Mining & Safety Engineering, 2023, 40(5): 869–881.
- [4] 乔国栋, 刘泽功, 高魁, 等. 切缝药包超前预裂爆破厚硬顶板矿压与瓦斯综合防治试验研究 [J]. 中国矿业大学学报, 2024, 53(2): 334–345, 376.
- QIAO G D, LIU Z G, GAO K, et al. Experimental study on the control of mine pressure and gas governance in thick and hard roof by pre-blasting of slotted cartridge [J]. Journal of China University of Mining & Technology, 2024, 53(2): 334–345, 376.
- [5] 杨国梁, 毕京九, 董智文, 等. 定向断裂控制爆破下层理页岩的致裂机理 [J]. 爆炸与冲击, 2024, 44(6): 061001.
- YANG G L, BI J J, DONG Z W, et al. Fracturing mechanism of bedding shale under directional fracture-controlled blasting [J]. Explosion and Shock Waves, 2024, 44(6): 061001.
- [6] 杨仁树, 丁晨曦, 杨立云, 等. 含缺陷 PMMA 介质的定向断裂控制爆破试验研究 [J]. 岩石力学与工程学报, 2017, 36(3): 690–696.
- YANG R S, DING C X, YANG L Y, et al. Experimental study on controlled directional fracture blasting on PMMA mediums with flaws [J]. Chinese Journal of Rock Mechanics and Engineering, 2017, 36(3): 690–696.
- [7] 岳中文, 郭洋, 许鹏, 等. 定向断裂控制爆破爆生裂纹扩展机理的实验研究 [J]. 工程力学, 2016, 33(2): 50–58.
- YUE Z W, GUO Y, XU P, et al. Controlled blasting experimental study on the mechanism of blast-induced crack propagation under directional fracture [J]. Engineering Mechanics, 2016, 33(2): 50–58.
- [8] 岳中文, 郭洋, 许鹏, 等. 定向断裂控制爆破的空孔效应实验分析 [J]. 爆炸与冲击, 2015, 35(3): 304–311.
- YUE Z W, GUO Y, XU P, et al. Analysis of empty hole effect in directional fracture controlled blasting [J]. Explosion and Shock Waves, 2015, 35(3): 304–311.
- [9] 王雁冰, 商禹智, 石震鑫, 等. 定向断裂双孔爆破含缺陷介质裂纹扩展的动焦散试验 [J]. 爆破, 2018, 35(1): 15–20, 48.
- WANG Y B, SHANG Y Z, SHI Z X, et al. Dynamic caustics experiment on crack propagation in defective medium by directional breaking with double hole blasting [J]. Blasting, 2018, 35(1): 15–20, 48.
- [10] 许鹏, 陈程, 郭洋, 等. 含垂直层理介质在切缝药包爆破下裂纹扩展行为的试验研究 [J]. 矿业科学学报, 2019, 4(6): 498–505.
- XU P, CHEN C, GUO Y, et al. Experimental study on crack propagation of slit charge blasting in media with vertical bedding plane [J]. Journal of Mining Science and Technology, 2019, 4(6): 498–505.
- [11] 费鸿禄, 山杰, 包士杰, 等. 节理几何特征对爆破裂纹扩展的数值模拟研究 [J]. 工程爆破, 2023, 29(5): 12–21.
- FEI H L, SHAN J, BAO S J, et al. Numerical simulation study of joint geometric characteristics for explosion crack propagation [J]. Engineering Blasting, 2023, 29(5): 12–21.
- [12] 郭德勇, 张慧杰, 吕鹏飞, 等. 断层对深孔聚能爆破煤层增透的影响 [J]. 北京科技大学学报, 2014, 36(10): 1281–1286.
- GUO D Y, ZHANG H J, LYU P F, et al. Effect of fault on deep-hole cumulative blasting to improve coal bed permeability [J]. Journal of University of Science and Technology Beijing, 2014, 36(10): 1281–1286.
- [13] QIU P, YUE Z W, YANG R S, et al. Effects of vertical and horizontal reflected blast stress waves on running cracks by caustics method [J]. Engineering Fracture Mechanics, 2019, 212: 164–179.
- [14] QIU P, YUE Z W, JU Y, et al. Characterizing dynamic crack-tip stress distribution and evolution under blast gases and reflected stress waves by caustics method [J]. Theoretical and Applied Fracture Mechanics, 2020, 108: 102632.
- [15] QIU P, YUE Z W, YANG R S, et al. Modified mixed-mode caustics interpretation to study a running crack subjected to obliquely incident blast stress waves [J]. International Journal of Impact Engineering, 2021, 150: 103821.
- [16] 吴延梦, 李洪伟, 苏洪, 等. 单向围压下切槽爆破裂纹扩展规律研究 [J]. 高压物理学报, 2023, 37(6): 129–139.
- WU Y M, LI H W, SU H, et al. Crack propagation law of notch blasting under unidirectional confining pressure [J]. Chinese Journal of High Pressure Physics, 2023, 37(6): 129–139.
- [17] 邱鹏. 爆炸应力波与裂纹相互作用机理研究 [D]. 北京: 中国矿业大学(北京), 2019.
- QIU P. Mechanisms of the interaction between blast stress waves and cracks [D]. Beijing: China University of Mining and Technology (Beijing), 2019.
- [18] THEOCARIS P S. Elastic stress intensity factors evaluated by caustics [M]//SIH G C. Experimental evaluation of stress concentration and intensity factors. Netherlands: Springer, 1981: 189–252.
- [19] PAPADOPOULOS G A. Fracture mechanics: the experimental method of caustics and the det.-criterion of fracture [M]. London: Springer-Verlag, 1993.
- [20] 李庆扬, 王能超, 易大义. 数值分析 [M]. 北京: 清华大学出版社, 2008.

- LI Q Y, WANG N C, YI D Y. Numerical analysis [M]. Beijing: Tsinghua University Press, 2008.
- [21] ANDERSON T L. Fracture mechanics: fundamentals and applications [M]. Boca Raton, FL: CRC Press, 2005.
- [22] 范天佑. 断裂力学原理与应用 [M]. 北京: 北京理工大学出版社, 2006.
- FAN T Y. Principles and applications of fracture dynamics [M]. Beijing: Beijing Institute of Technology Press, 2006.

Stress Distribution and Propagation Mechanism of Crack Tip in Directional Fracturing Blasting under the Influence of Free Boundary

QIU Peng¹, YUE Zhongwen²

(1. Key Laboratory of In-Situ Property-Improving Mining of Ministry of Education,
Taiyuan University of Technology, Taiyuan 030024, Shanxi, China;

2. School of Mechanics and Civil Engineering, China University of Mining and Technology (Beijing), Beijing 100083, China)

Abstract: Natural rock masses often contain free boundaries, which can interfere with directional fracturing blasting. To investigate effects of free boundary on directional fracturing blasting, the caustics method and high-speed photography were used to study the crack-tip stress distribution and propagation of directional blast-induced cracks. The reflected P/S waves from the free boundary act on a directional blast-induced crack, and change the crack-tip stress distribution and generate an “arc shaped” crack path. Directional blast-induced crack propagation can be divided into three stages. Stage one: before the action of reflected waves, the crack tip is subjected to the action of a blast-induced gas wedge, resulting in a mode I crack that propagates along a straight line. Stage two: under the action of reflected waves, both reflected P and S waves cause the crack tip to be subjected to tension and shear action, resulting in a mixed mode I - II crack which deflects towards the free boundary. Under reflected P waves, the crack tip produces distorted caustics, and crack-tip stress changes from K-dominated field to non-K-dominated field, while under reflected S waves, crack-tip stress returns to K-dominated field. Stage three: after the action of reflected waves, the crack tip is subjected to inertial action and then returns to a mode I crack which propagates along a straight line. On the basis of clarifying effects of reflected P/S waves on the tip of directional blast-induced cracks, a calculation formula for the distance between two directional fracturing blasting holes under the influence of free boundary is derived, providing a theoretical basis for refined directional fracturing blasting.

Keywords: free boundary; directional fracturing blasting; reflected P/S waves; crack-tip stress distribution; crack propagation